

# حل عددی شکل پایستار معادلات تراکم‌پذیر دو بُعدی و ناآب‌ایستایی جو با روش فشرده مک کورمک

رضا جوان نژاد<sup>۱</sup>، امیرحسین مشکواتی<sup>۲\*</sup>، سرمد قادر<sup>۳</sup> و فرهنگ احمدی گیوی<sup>۳</sup>

<sup>۱</sup>دانشجوی دکتری، دانشگاه آزاد اسلامی، واحد علوم و تحقیقات تهران، گروه هواشناسی، تهران، ایران  
<sup>۲</sup>استادیار، گروه هواشناسی، دانشگاه آزاد اسلامی، واحد علوم و تحقیقات تهران، ایران  
<sup>۳</sup>دانشیار، گروه فیزیک فضا، مؤسسه ژئوفیزیک، دانشگاه تهران، ایران

(تاریخ دریافت: ۹۴/۰۴/۰۲، تاریخ پذیرش: ۹۴/۰۸/۱۰)

## چکیده

یکی از زمینه‌های پژوهشی مورد توجه در ارتباط با حل عددی معادلات حاکم بر جو، افزایش دقت عددی شبیه‌سازی‌ها می‌باشد. در این پژوهش روش مک کورمک فشرده مرتبه چهارم با پیشروی زمانی رُنگ-کوتا مورد توجه قرار گرفته است. روش مک کورمک فشرده مرتبه چهارم با پیشروی زمانی رُنگ-کوتای چهارمرحله‌ای برای حل عددی معادلات تراکم‌پذیر دو بُعدی و ناآب‌ایستایی جو مورد استفاده قرار گرفته و نتایج آن با روش‌های مک کورمک مرتبه دوم و مک کورمک فشرده مرتبه چهارم با پیشروی زمانی مرتبه دوم مقایسه شده است. برای انجام این مقایسه، از آزمون موردی حباب سرد و حباب گرم در جو خنثی استفاده شده است. بررسی پریشیدگی دمایی بالقوه (پتانسیلی)، پریشیدگی سرعت قائم و افقی، پریشیدگی فشار و بررسی میزان همگرایی حل عددی، موقعیت لبه جلویی جبهه در این روش‌ها و مقایسه آنها با توجه به فواصل مختلف شبکه‌ای نشان داد، استفاده از روش مک کورمک فشرده مرتبه چهارم با پیشروی زمانی رُنگ-کوتای چهارمرحله‌ای در حل عددی نسبت به دو روش دیگر مورد مطالعه برای معادلات تراکم‌پذیر دو بُعدی و ناآب‌ایستایی جو منجر به بهبود جواب‌ها می‌شود.

**واژه‌های کلیدی:** روش مک کورمک فشرده، دقت عددی، حباب سرد، حباب گرم

## ۱ مقدمه

در سال‌های اخیر با توجه به افزایش توان محاسباتی رایانه‌ها امکان استفاده از روش‌های عددی با توان تفکیک بالا برای شبیه‌سازی معادلات حاکم بر جریان شاره بیش از پیش فراهم شده است. با توجه به عملکرد امیدوارکننده روش‌های فشرده، در سال‌های اخیر گرایش به به کارگیری این روش‌ها در شبیه‌سازی شارش‌های جوئی و اقیانوسی با توجه به پیچیدگی ذاتی این شارش‌ها افزایش یافته است. ایده روش‌های فشرده به کارهای انجام شده توسط نیومرو (۱۹۲۴)، فاکس و گودوین (۱۹۴۹) در نیمه اول قرن بیستم میلادی برمی‌گردد. البته این روش‌ها بیشتر پس از کار

از زمانی که مطالعه بر روی قوانین حاکم بر جو به صورت علمی مدون درآمد و معادلات حاکم بر پدیده‌های جوئی توسط دانشمندان ارائه و گسترش یافت، تلاش برای حل آنها نیز آغاز شد. از آنجایی که حل تحلیلی این معادلات پیچیده نیازمند ساده‌سازی‌های بسیاری است، روش‌های حل عددی توسعه یافته‌اند. بر این اساس، مدل‌های عددی بسیاری برای حل معادلات طراحی شده‌اند که با پیشرفت سریع رایانه‌ها و افزایش سرعت محاسبات، این علم نیز پیشرفت‌های فراوانی داشته است.

آزمون‌های موردی مربوط به معادلات آب کم‌عمق در مختصات کروی مورد بررسی و مقایسه قرار گرفته است. از جمله دیگر روش‌های فشرده می‌توان به روش‌های مک‌کورمک فشرده اشاره کرد (هیکسون و ترکل، ۲۰۰۰) و با توجه به اینکه ماهیت این روش‌ها دونقطه‌ای‌اند، علاوه بر کاهش حجم محاسبات، امکان شبیه‌سازی پدیده‌های همراه با شیوه‌های شدید با توانایی مناسب‌تری فراهم می‌شود. از جمله کارهای عددی مرتبط که در آنها به حل عددی معادلات تراکم‌پذیر و ناآب‌ایستایی با استفاده از این روش‌ها پرداخته شده می‌توان به لیلی (۱۹۶۲) و میندز-ننز و کارول (۱۹۹۴)، استراکا و همکاران (۱۹۹۳)، جیرالدو و رستللی (۲۰۰۷)، مولر و همکاران (۲۰۱۳) و یلاشا و همکاران (۲۰۱۴) اشاره کرد.

در بررسی‌های میان‌مقیاس حرکت‌های جوئی، مناطق دارای شیو (گرادیان) شدید متغیرهای دینامیکی حاکم بر شارش‌های جوئی، از اهمیت زیادی برخوردارند. از پدیده‌های مهمی که در این مقیاس با خاصیت شیو شدید رخ می‌دهند می‌توان به جبهه، همرفت، توفان تندری، جریان-گرانی و توفان همرفتی اشاره کرد. این پدیده‌ها معمولاً با افزایش و یا کاهش شدید و ناگهانی کمیت‌های دینامیکی حاکم بر شارش‌ها مانند افزایش فشار و یا کاهش دما و حرکات بالاسو و پایین‌سو شدید همراه هستند (برای مثال بیدختی و همکاران، ۱۳۸۳).

چنین شارش‌هایی با توجه به اهمیت و بزرگی حرکات قائم در آنها برخلاف شارش‌های بزرگ‌مقیاس، ماهیت ناآب‌ایستایی دارند. در نتیجه حل تحلیلی معادلات حاکم بر این شارش‌ها به‌جز در موارد اندک و با در نظر گرفتن فرضیات ساده‌کننده فراوان، امکان‌پذیر نیست و بنابراین برای پیش‌بینی رفتار آینده جوّ و شبیه‌سازی شارش‌های جوئی اغلب از روش‌های عددی استفاده می‌شود (برای مثال تان‌هیل و همکاران، ۱۹۹۷).

انجام‌شده توسط کرایس و اولیگر (۱۹۷۲) و کار بنیادی انجام‌شده توسط لیل (۱۹۹۲) شناخته‌شده و به‌عنوان ابزاری نیرومند برای شبیه‌سازی معادلات جریان شاره در شاخه‌های مختلف مورد استفاده قرار گرفته‌اند. روش‌های مذکور علاوه بر سایر شاخه‌های مکانیک شاره‌ها در حوزه دینامیک شاره‌های ژئوفیزیکی نیز مورد توجه قرار گرفته‌اند. از جمله کارهای انجام‌شده در زمینه شارش‌های جوئی که در آنها از روش‌های عددی با دقت بالا و فشرده استفاده شده می‌توان به کارهای انجام‌شده توسط نیون و ریفاگن (۱۹۷۹)، لیل (۱۹۹۲)، ژانگ و همکاران (۲۰۰۲) و اصفهانیان و همکاران (۲۰۰۵) اشاره کرد که به بررسی استفاده از روش آب‌فشرده (Super Compact) برای گسسته‌سازی مکانی در مدل‌های عددی جوّ و اقیانوس پرداختند. در تحقیقات محب‌الحجه و دریچل (۲۰۰۷) روش‌های تفاضل متناهی فشرده و آب‌فشرده با توجه به کارایی مناسب آنها در شبیه‌سازی معادلات حاکم بر دینامیک شاره‌ها، مورد توجه قرار گرفته است. قادر و همکاران (۲۰۰۹) به بررسی همگرایی طیفی روش‌های آب‌فشرده از مرتبه دوم تا مرتبه هشتم پرداختند. در کار انجام‌شده توسط گلشاهی و همکاران (۲۰۰۹) روش‌های آب‌فشرده و فشرده ترکیبی برای گسسته‌سازی مکانی مدل اقیانوسی دولایه‌ای مطرح شده است. نتایج کار مذکور حاکی از عملکرد مناسب روش‌های آب‌فشرده و فشرده ترکیبی برای گسسته‌سازی مکانی شکل خطی شده معادلات آب کم‌عمق دولایه‌ای است.

قادر و نوردشروم (۲۰۱۵) به حل عددی معادلات آب کم‌عمق بر حسب متغیرهای تاوایی، واگرایی و ارتفاع در مختصات کروی با استفاده از روش‌های فشرده مرتبه چهارم، آب‌فشرده مرتبه ششم و هشتم و فشرده ترکیبی مرتبه ششم و هشتم پرداختند. در این کار، کارایی روش‌های مذکور از دیدگاه دقت و حجم محاسبات برای

مقایسه کیفی تعدادی از نتایج روش‌های مختلف مک کورمک خواهیم پرداخت.

## ۲ روش مک کورمک فشرده

نحوه به‌دست آوردن و جزئیات فرمول‌بندی روش‌های مک کورمک مرتبه دوم و فشرده مرتبه چهارم با پیشروی زمانی مرتبه دوم در کارهای هیکسون و ترکل (۲۰۰۰)، قادر و همکاران (۱۳۸۹، ۱۳۹۰) بیان شده است. هم‌چنین روش مک کورمک فشرده مرتبه چهارم با پیشروی زمانی ژنگ-کوتای چهارمرحله‌ای را هیکسون و ترکل (۲۰۰۰) به‌صورت مشروح بیان کرده‌اند. در اینجا فقط فرمول‌بندی روش مک کورمک فشرده مرتبه چهارم با پیشروی زمانی ژنگ-کوتای چهارمرحله‌ای به‌صورت خلاصه بیان می‌شود.

### ۱-۲ پیشروی زمانی

برای معرفی این روش، ابتدا صورت کلی شکل پایستار معادلات حاکم را به شکل زیر در نظر می‌گیریم:

$$\frac{\partial u}{\partial t} + F(u) = 0, \quad (1)$$

که در رابطه بالا  $u$  متغیر پیش‌یابی و  $F$  تابعی از  $u$  است، که با توجه به تعداد بُعدهای مسئله می‌تواند از یک تا سه بعد داشته باشد. این تابع هم‌چنین شامل مشتق اول در راستای محورهای مختصات مختلف است. شکل گسسته زمانی معادله (۱) با استفاده از روش مک کورمک مرتبه دوم در زیر آمده است:

$$U^{(1)} = U^n - \Delta t \delta^F [U^n], \quad (2)$$

$$U^{n+1} = \frac{1}{2} (U^n + U^{(1)} - \Delta t \delta^B [F(U^{(1)})]), \quad (3)$$

که در این رابطه  $\delta^F$  و  $\delta^B$  به ترتیب عملگرهای پس‌رو و پیشرو مکانی و  $\Delta t$  گام زمانی است. همان‌طور که ملاحظه

اغلب روش‌های فشرده از نوع مرکزی هستند و در واقع چنین روش‌هایی با توجه به ماهیت ذاتی موجود در آنها برای شبیه‌سازی میدان شارش همراه با ناپیوستگی مناسب نیستند. بنابراین اگر در نظر باشد که میدان شارش همراه با ناپیوستگی، با دقت بالا و استفاده از روش‌های تفاضل متناهی فشرده شبیه‌سازی شود، می‌بایست از روشی استفاده کرد که در آن بتوان علاوه بر افزایش دقت، تعداد نقاط درگیر در فرمول‌بندی روش تفاضل متناهی را به دو نقطه محدود ساخت. با این دیدگاه روش مک کورمک فشرده مرتبه چهارم مورد بررسی قرار می‌گیرد.

برای درک رفتار و نحوه عملکرد روش‌های عددی مورد استفاده در حل معادلات ناآب‌یستایی جو معمولاً از آزمون‌های موردی براساس پدیده‌های مختلفی استفاده می‌شود. تحول حباب سرد (استراکا و همکاران، ۱۹۹۳) و گرم (مندز-ننز و کارول، ۱۹۹۴) در جو خنثی و هم‌چنین شبیه‌سازی جریان گرانی نمونه‌هایی از پدیده‌های استاندارد مورد استفاده برای بررسی عملکرد روش عددی هستند.

حل عددی مسئله تنظیم راسبی غیرخطی ناپایای دوبعدی با استفاده از روش فشرده مک کورمک مرتبه چهارم را قادر و همکاران (۱۳۸۹) انجام دادند. قادر و همکاران (۱۳۹۰) شکل پایستار معادلات تراکم‌پذیر دو بُعدی و ناآب‌یستایی جو را با استفاده از روش مک-کورمک مرتبه دوم حل کردند که از نتایج آن برای مقایسه عملکرد روش‌های به کار گرفته شده در این مطالعه استفاده خواهد شد.

در کار حاضر در روش‌شناسی ابتدا فرمول‌بندی روش مک کورمک فشرده مرتبه چهارم با پیشروی زمانی ژنگ-کوتای چهارمرحله‌ای به‌طور خلاصه بیان می‌شود. سپس نتایج مربوط به نحوه اعمال و چگونگی حل عددی شکل پایستار معادلات تراکم‌پذیر، دوبعدی و ناآب‌یستایی جو بی‌دررو با استفاده از این روش مطرح می‌شود. هم‌چنین به

نشان داده شده‌اند که در آن ضریب  $a = \frac{1}{2} - \frac{1}{2\sqrt{3}}$ ،  $\Delta x$  فاصله شبکه‌ای،  $D$  مشتق مکانی تابع و بالانویس‌های  $F$  و  $B$  به ترتیب نمایانگر عملگرهای پیشرو و پس‌رو برای برآورد مشتق اول هستند. جمع این دو عملگر عبارتی با دقت مرتبه چهارم است. این نحوه اعمال عملگرها اساس تفاوت میان روش فشرده مک کورمک مرتبه چهارم با روش مک کورمک مرتبه دوم است.

### ۲-۳ معادلات حاکم

با فرض بی دررو و ناوشکسان بودن جو، شکل برداری و پایستار معادلات حاکم برای یک جو ناآب‌ایستا و تراکم-پذیر دو بُعدی در دستگاه دکارتی به شکل زیر خواهند بود (مِنْدَز-نُونَز و کارول، ۱۹۹۴):

$$\frac{\partial \vec{V}}{\partial t} + \frac{\partial \vec{E}}{\partial x} + \frac{\partial \vec{F}}{\partial z} = \vec{H}, \quad (6)$$

که بردارهای مربوط به رابطه (۶) به شکل زیر تعریف می‌شوند:

$$\begin{aligned} \vec{V} &= (\rho, \rho u, \rho w, \rho \theta)^T, \\ \vec{E} &= (u\rho, u\rho u + p, u\rho w, u\rho \theta)^T, \\ \vec{F} &= (w\rho, w\rho u, w\rho w + p, w\rho \theta)^T, \\ \vec{H} &= (0, 0, -\rho g, 0)^T, \end{aligned} \quad (7)$$

که در آن نیروهای کوریولیس نادیده گرفته شده‌اند (دوران، ۲۰۱۰):

$$\frac{d(\ )}{dt} = \frac{\partial(\ )}{\partial t} + \vec{V} \cdot \vec{\nabla}(\ ), \quad (8)$$

و متغیرهای مجهول در این دستگاه معادلات شامل  $\rho$ ،  $u$ ،  $w$  و  $\theta$  به ترتیب سرعت افقی، چگالی، فشار، سرعت قائم و دمای بالقوه (پتانسیلی) هستند.

می‌شود روش مک کورمک مرتبه دوم، دومرحله‌ای و صریح (explicit) است. این روش دارای دقت مرتبه دوم زمانی است و در صورت استفاده از عملگرهای پس‌رو و پیشرو مکانی ضمنی فشرده دارای دقت مرتبه چهارم مکانی برای معادلات خطی است (هیگسون و ترکل، ۲۰۰۰).

### ۲-۲ روش مک کورمک فشرده مرتبه چهارم با پیشروی زمانی رُنْگ-کوتا

روش مک کورمک فشرده مرتبه چهارم با پیشروی زمانی رُنْگ-کوتا دارای سه روش چند مرحله‌ای است. در این میان روش مک کورمک فشرده مرتبه چهارم با پیشروی زمانی رُنْگ-کوتای چهارمرحله‌ای در این پژوهش مورد توجه قرار گرفته است. شکل عمومی گسسته این روش چهارمرحله‌ای در روابط زیر آمده است (هیگسون و ترکل، ۲۰۰۰):

$$\begin{aligned} h^{(1)} &= -\Delta t \delta^F [F(U^n)], \\ h^{(2)} &= -\Delta t \delta^B [F(U^n + \alpha_2 h^{(1)})], \\ h^{(3)} &= -\Delta t \delta^F [F(U^n + \alpha_3 h^{(2)})], \\ h^{(4)} &= -\Delta t \delta^B [F(U^n + \alpha_4 h^{(3)})], \\ U^{n+1} &= U^n + \beta_1 h^{(1)} + \beta_2 h^{(2)} \\ &\quad + \beta_3 h^{(3)} + \beta_4 h^{(4)}, \end{aligned} \quad (4)$$

که مقدار ضرایب در روابط (۴) به ترتیب  $\alpha_2 = \frac{1}{2}$ ،  $\alpha_3 = \frac{1}{2}$ ،  $\beta_1 = \frac{1}{6}$ ،  $\beta_2 = \frac{1}{3}$ ،  $\beta_3 = \frac{1}{3}$ ،  $\beta_4 = \frac{1}{6}$  هستند.

عملگرهای پس‌رو و پیش‌رو در روش مک کورمک فشرده مرتبه چهارم برای تابع دلخواه  $f$  در رابطه:

$$\begin{aligned} a D_{i-1}^B + (1-a) D_i^B &= \left(\frac{1}{\Delta x}\right)(f_i - f_{i-1}), \\ a D_{i+1}^F + (1-a) D_i^F &= \left(\frac{1}{\Delta x}\right)(f_{i+1} - f_i), \end{aligned} \quad (5)$$

کل حوزه با استفاده از رابطه مربوط به توازن آب‌یستایی، چگالی در کل حوزه به دست آید. برای تحقق این هدف، تابع ترمودینامیکی اکسنر با رابطه زیر بیان می‌شود (مندز-نوز و کارول، ۱۹۹۴):

$$\pi = \left(\frac{P}{P_s}\right)^{\frac{R_d}{C_p}}, \quad (10)$$

که اگر از تابع اکسنر نسبت به ارتفاع قائم مشتق گرفته شود و همچنین از معادله آب‌یستایی نیز استفاده شود، رابطه زیر به دست می‌آید:

$$\frac{d\pi}{dz} = -\frac{g}{C_p \theta(z)}, \quad (12)$$

که در این مرحله می‌بایست از رابطه بالا به‌طور عددی بین دو تراز  $z_1$  و  $z_2$  با دو دمای بالقوه متناظر  $\theta(z_1)$  و  $\theta(z_2)$  انتگرال‌گیری شود. مطابق با روشی که کارول و همکاران (۱۹۸۷) بیان کرده‌اند، نتیجه این انتگرال‌گیری با روابط زیر بیان می‌شود:

$$\pi_2 - \pi_1 = \begin{cases} -\frac{g}{C_p \theta} (z_2 - z_1), \\ \theta(z_1) = \theta(z_2), \\ -\frac{g(z_2 - z_1)}{C_p (\theta(z_2) - \theta(z_1))} \ln\left(\frac{\theta(z_2)}{\theta(z_1)}\right), \\ \theta(z_1) \neq \theta(z_2), \end{cases} \quad (13)$$

که در آن  $\pi_1$  و  $\pi_2$  به ترتیب توابع اکسنر ترازهای  $z_1$  و  $z_2$  می‌باشند. با معلوم بودن فشار سطح  $P_s$  در رابطه (۱۰) تابع اکسنر سطح زمین پیدا می‌شود. سپس با استفاده از

برای حل عددی و تحلیل معادلات دیفرانسیلی خطی و غیرخطی وابسته به زمان نیاز به شرایط اولیه است به‌طوری که برای تمام متغیرهای میدان مقدار اولیه در نظر گرفته می‌شود و با استفاده از حل عددی و یا تحلیلی در صورت وجود جواب، مقادیر متغیرها در زمان‌های بعد محاسبه می‌شود. با توجه به اینکه دستگاه معادلات انتخاب شده در این پژوهش، معادلات اویلر ناپایا می‌باشد، می‌بایست برای مقادیر مجهول در این دستگاه معادلات مقادیر اولیه انتخاب شود.

در شبیه‌سازی جو ناآب‌یستا در دو حالت تراکم‌پذیر و تراکم‌ناپذیر عموماً جو در زمان نخست در حالت سکون و در توازن کامل آب‌یستایی در نظر گرفته می‌شود. بنابراین اگر شرایط اولیه و یا رفتار جو در آغاز حل عددی به صورت جو ساکن و در توازن آب‌یستایی مطلق باشد، آنگاه کمیت‌های میدان به صورت زیر می‌باشند:

$$\frac{\partial p}{\partial z} = -\rho g \quad w = 0.0 \quad u = 0.0, \quad (9)$$

که رابطه سوم از روابط بالا، همان تقریب آب‌یستایی می‌باشد. چگالی به کار رفته، چگالی یک لایه از شاره می‌باشد و نباید این مفهوم با چگالی یک نقطه در روش تفاضل متناهی اشتباه شود.

فرآیند آغازگری در این پژوهش بدین ترتیب است که از فشار سطح زمین که با  $P_s$  نشان داده می‌شود به‌عنوان ورودی اولیه در مدل استفاده می‌شود.

فشار سطح زمین در اینجا برابر با  $P_s = 1000 \text{ hPa}$  در نظر گرفته می‌شود. سپس از میدان دمای بالقوه اولیه به‌عنوان ورودی دوم مدل استفاده می‌شود.

هدف از آغازگری این است که، ابتدا با دانستن میدان دمای بالقوه و فشار سطح زمین، فشار در تمام حوزه محاسباتی به دست آید و سپس با دانستن میدان فشار در

از جمله آزمون‌های موردی پرکاربرد برای حل عددی معادلات تراکم‌پذیر و ناآب‌ایستای جو می‌توان به شبیه‌سازی تحول حباب گرم، حباب سرد و جریان گرانی اشاره کرد. در کار حاضر به ارائه نتایج مربوط به سه آزمون موردی حباب سرد در جو خنثی با شرایط مرزی سخت، حباب گرم در جو خنثی با شرایط مرزی نابازتابی، حباب گرم در جو خنثی با شرایط مرزی سخت برای حل عددی معادلات تراکم‌پذیر و ناگران‌روی جو با استفاده از روش مک کورمک فشرده مرتبه چهارم با پیشروی زمانی رُنک-کوتای چهار مرحله‌ای پرداخته می‌شود.

#### ۴ حل عددی آزمون موردی حباب سرد در جو خنثی با شرایط مرزی سخت

از جمله کارهای عددی پر استناد در زمینه شبیه‌سازی حباب سرد می‌توان به کار استراکا و همکاران (۱۹۹۳) اشاره کرد. این شبیه‌سازی با استفاده از حل عددی معادلات تراکم‌پذیر و ناآب‌ایستای جو انجام می‌شود. در پژوهش حاضر نیز همانند استراکا حوزه انتخابی برای حل عددی تحول حباب سرد شبکه‌ای مستطیل شکل با ابعاد افقی ۲۵۶۰۰ متر و قائم ۶۴۰۰ متر است. همه مرزهای این حوزه محاسباتی، سخت در نظر گرفته می‌شود. اعمال این شرط با استفاده از تجارب عددی لی (۱۹۶۲)، که معرف قید ناگران‌رو و عایق برای مرز سخت است، و همچنین گاتلیب و ترکل (۱۹۷۶) با برون‌یابی خطی از نقاط داخلی حوزه انجام می‌شود. برای شبیه‌سازی حباب سرد از پریشیدگی میدان دمای اولیه استفاده می‌شود. در آزمون موردی حباب سرد شرایط پریشیدگی اولیه میدان دما به صورت زیر تعریف می‌شود (استراکا و همکاران، ۱۹۹۳):

$$\Delta T = \begin{cases} 0.0^\circ C & \beta > 1.0 \\ -15.0^\circ C \cos\left(\frac{\pi\beta}{2}\right) & \beta \leq 1.0 \end{cases} \quad (16)$$

رابطه (۱۲) و با توجه به نیمرخ دمای بالقوه در هر لایه، توابع اکسنر ترازهای بعدی از روی تابع اکسنر سطح زمین تعیین می‌شود. اکنون با توجه به اینکه تابع اکسنر در تمام ترازها معلوم است، با توجه به رابطه (۱۰) فشار تمام ترازها از رابطه زیر به دست می‌آید:

$$P = P_s \pi^{R_d} \frac{C_p}{R_d} \quad (14)$$

اکنون میدان فشار  $P$  و دمای بالقوه  $\theta$  در تمام نقاط حوزه معلوم می‌باشند.

در زمان انتگرال‌گیری شکل اویلری معادلات حاکم بر شاره، بر اثر برهم‌کنش غیرخطی، ناپایداری غیرخطی ناشی از خطای دگرنامیدن به وجود می‌آید. این ناپایداری غیرخطی را می‌توان با روش‌های مختلفی از جمله افزودن جمله‌ای میراکننده به معادله مهار کرد. از طرفی روش مک کورمک خود دارای میرایی ذاتی است که بخشی از اندرکنش‌های غیرخطی را کنترل می‌کند.

با وجود این به علت پیچیدگی میدان شاره در شارش-های ناآب‌ایستا و تراکم‌پذیر، از جمله میرایی به صورت زیر استفاده شده است:

$$\vec{D} = (0, \nu \nabla \cdot \rho \nabla u, \nu \nabla \cdot \rho \nabla w, \nu \nabla \cdot \rho \nabla \theta)^T, \quad (15)$$

که در رابطه (۱۵)  $\nu$  ضریب میرایی است. این ضریب با آزمایش عددی به دست آمده و به مقدار تفکیک انتخاب شده در حل عددی بستگی دارد. البته ضریب میرایی کمینه برای هر یک از آزمایش‌های موردی مطرح شده در این پژوهش به دست آمده است. در حل عددی رابطه (۱۵) به سمت راست رابطه (۶) اضافه می‌شود.

#### ۳ حل عددی

در رابطه (۱۶) پارامتر  $\beta$  با رابطه زیر تعریف می‌شود:

$$\beta = \sqrt{\left(\frac{x-x_c}{x_r}\right)^2 + \left(\frac{z-z_c}{z_r}\right)^2}, \quad (17)$$

که در آن  $x_r$  و  $z_r$  معرف شعاع حباب در دو راستای  $x$  و  $z$ ، و  $x_c$  و  $z_c$  نیز معرف مختصات مرکز حباب می‌باشند. در این پژوهش چهار کمیت ذکر شده در رابطه (۱۵) دارای اندازه‌های زیر می‌باشند:

$$\begin{aligned} x_c &= 0.0 \text{ km}, & z_c &= 3.0 \text{ km}, \\ x_r &= 4.0 \text{ km}, & z_r &= 2.0 \text{ km}, \end{aligned} \quad (18)$$

که پریشیدگی در میدان دمای بالقوه را نیز می‌توان از روی پریشیدگی میدان دما با استفاده از رابطه  $T = \pi\theta$  به دست آورد. کمترین دما در این حباب سرد ۱۵- درجه بوده و در مرکز حباب با مختصات  $x = 0.0 \text{ km}$  و  $z = 3.0 \text{ km}$  قرار دارد. در محاسبات پریشیدگی دمای بالقوه برای یک حباب بایستی به گونه‌ای اعمال شود که میدان اولیه فشار دست‌خوش تغییر و پریشیدگی شود. برای رسیدن به این هدف پریشیدگی در چگالی به میدان اولیه طوری اعمال می‌شود که سمت راست رابطه زیر که تابعی از فشار است، ثابت باقی بماند:

$$\rho\theta = \frac{P}{R_d} \left(\frac{P_0}{P}\right)^{C_p}, \quad (19)$$

که در این رابطه  $R_d$  ثابت گازها برای هوای خشک است. میدان دمای بالقوه در رابطه (۱۹) از دو بخش میانگین و پریشیده تشکیل شده است که با رابطه زیر تعریف می‌شود:

$$\theta = \theta(z) + \theta'. \quad (20)$$

در رابطه بالا  $\theta(z)$  مربوط به حالتی است که جو در توازن آب‌ایستایی قرار دارد. با توجه به اینکه در جو خنثی مقدار اولیه  $\theta$  با ارتفاع ثابت است، در کار حاضر  $\theta(z)$  برابر با ۳۰۰ کلوین در نظر گرفته شده است. با معلوم بودن میدان اولیه دما، میدان پریشیدگی دمای بالقوه با استفاده از رابطه (۲۰) به دست می‌آید.

#### ۴-۱ نتایج حل عددی مربوط به حباب سرد در جو خنثی

برای حل عددی حباب سرد از تفکیک‌های شبکه‌ای ۲۵، ۵۰، ۱۰۰، ۲۰۰، ۴۰۰ و ۸۰۰ متر که به ترتیب معادل تعداد نقاط شبکه‌ای (۱۰۲۵×۲۵۷)، (۱۰۲۵×۱۲۹)، (۵۱۳×۶۵)، (۲۵۷×۳۳) و (۱۲۹×۳۳)، (۶۵×۱۷) و (۳۳×۹) در دو راستای افقی و قائم می‌باشند، استفاده شده است. با توجه به شرط پایداری عددی گام‌های زمانی متناظر با این تفکیک‌ها به ترتیب ۰/۱۵۶۲۵، ۰/۰۳۱۲۵، ۰/۰۶۲۵، ۰/۰۱۲۵، ۰/۰۲۵، ۰/۰۵ ثانیه هستند. برای ایجاد امکان مقایسه نتایج با سایرین، انتگرال‌گیری زمانی معادلات برای ۹۰۰ s انجام شده است.

در شکل‌های ۱-الف تا ۱-د تحول زمانی میدان پریشیدگی دمای بالقوه از زمان اولیه تا زمان ۹۰۰s حاصل از حل عددی و به کمک روش مک کورمک فشرده مرتبه چهارم با پیشروی زمانی رُنگ-کوتا و هم‌چنین در شکل ۲ نتایج استراکا و همکاران (۱۹۹۳) نشان داده شده است.

همان‌طور که در شکل‌های ۱-الف تا ۱-د مشاهده می‌شود از لحاظ کیفی مطابقت مناسبی بین نتایج عددی حاصل از روش مک کورمک فشرده مرتبه چهارم با پیشروی زمانی رُنگ-کوتا و نتایج عددی استراکا و همکاران (۱۹۹۳) در شکل ۲ وجود دارد. در ادامه برای اینکه مقایسه کمی بین نتایج عددی حاصل از این روش و نتایج به دست آمده استراکا و همکاران (۱۹۹۳) صورت بگیرد، در جدول ۱ مقادیر بیشینه و کمینه میدان

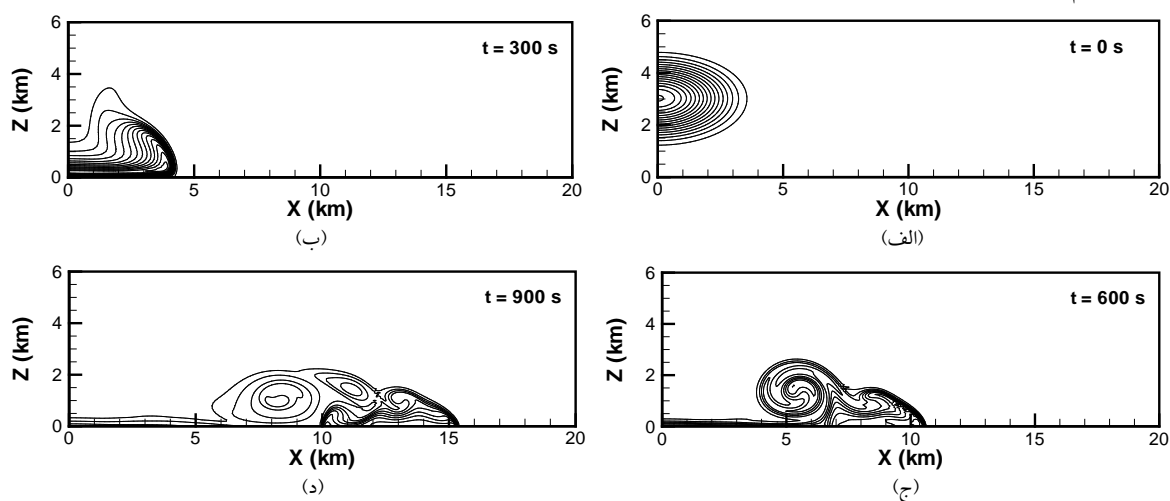
درونی‌ترین پربند دارای پربندگی دمای بالقوه  $-16.5^{\circ}\text{C}$  است.

در شکل‌های ۳-ب، ۳-د، ۳-و، ۳-ح میدان پربندگی دمای بالقوه در زمان  $900\text{s}$  حاصل از حل عددی و به کمک روش مک کورمک فشرده مرتبه چهارم با پیشروی زمانی رُنگ-کوتا نشان داده شده است. هم‌چنین در شکل‌های ۳-الف، ۳-ج، ۳-ه، ۳-ز نتایج استراکا و همکاران (۱۹۹۳) برای این فواصل شبکه‌ای نشان داده شده است. همان‌طور که مشاهده می‌شود در روش مک-کورمک فشرده مرتبه چهارم با پیشروی زمانی رُنگ-کوتا با افزایش فاصله شبکه‌ای توانایی تفکیک شکل یاخته‌های دایره‌ای حباب سرد نسبت به نتایج استراکا بهبود یافته است.

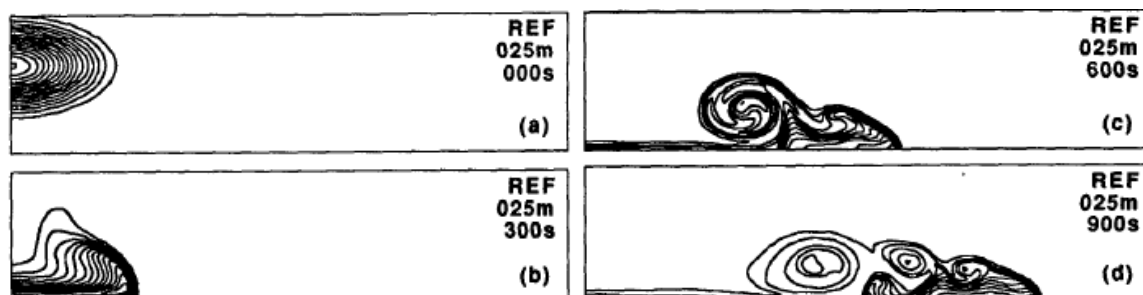
پربندگی دمای بالقوه در زمان  $900\text{s}$  حاصل از روش‌های مک کورمک مرتبه دوم و مک کورمک فشرده مرتبه چهارم با پیشروی زمانی رُنگ-کوتا چهارم به پیشروی زمانی رُنگ-کوتا چهارم مرحله‌ای ارائه شده‌اند.

در این جدول مطابقت خوبی بین نتایج حاصل از روش‌های ذکر شده عددی به خصوص پیشروی زمانی رُنگ-کوتا چهارم مرحله‌ای و نتایج استراکا و همکاران (۱۹۹۳) وجود دارد.

جواب رُنگ-کوتا چهارم مرحله‌ای با  $\Delta x = \Delta z = 25\text{m}$  متناظر با تفکیک  $(1025 \times 257)$  به ترتیب (الف، ب، ج، د) است. واحدها روی هر دو محور مختصات برحسب کیلومتر هستند. پربندهای هم‌دما در بازه  $[-16.5^{\circ}\text{C}, -0.5^{\circ}\text{C}]$  قرار دارند و اختلاف بین دو پربند هم‌دمای متوالی  $1^{\circ}\text{C}$  و  $v = 75\text{m}^2\text{s}^{-1}$  است.



شکل ۱. تحول زمانی پربندگی دمای بالقوه برای حباب سرد در جو خنثی با استفاده از روش مک کورمک فشرده مرتبه چهارم با پیشروی زمانی رُنگ-کوتا.



شکل ۲. نتایج ارائه شده توسط استراکا و همکاران (۱۹۹۳) برای حباب سرد در جو خنثی.



که در این رابطه  $NX$  و  $NZ$  تعداد نقاط شبکه در راستای  $x$  و  $z$  هستند.  $i$  و  $k$  نقاط شبکه‌ای برای هر حل عددی به‌خصوص هستند.  $ii$  و  $kk$  نقاط شبکه‌ای حل مرجع مربوط به حل با نقاط شبکه‌ای  $i$  و  $k$  است. در این بررسی فاصله شبکه‌ای مرجع (پایین‌نویس  $ref$ ) برابر با ۲۵ متر در نظر گرفته شد.

با توجه به اینکه در این بررسی علاوه بر گسسته‌سازی مکانی از گسسته‌سازی زمانی نیز استفاده شد، از دو نُرم مکانی و زمانی برای بررسی دقت در زمان و مکان استفاده شده است.

برای به‌دست آوردن نُرم مکانی از گام زمانی  $\Delta t = 0.0078125s$  و فاصله شبکه‌ای ۲۵، ۵۰، ۱۰۰، ۲۰۰، ۴۰۰ متر استفاده شده و برای به‌دست آوردن نُرم زمانی از گام‌های زمانی ۰/۰۱۵۶۲۵، ۰/۰۳۱۲۵، ۰/۰۶۲۵، ۰/۰۱۲۵، ۰/۰۲۵، ۰/۰۵ ثانیه و تفکیک شبکه‌ای ۲۰۰ متر استفاده شده است. گام زمانی مربوط به فاصله شبکه‌ای ۲۵ متری برای حل مرجع انتخاب شد.

شکل ۵-الف نُرم زمانی حاصل از سه روش مک-کورمک را نشان می‌دهد. همان‌طور که مشاهده می‌شود، روش عددی مک کورمک فشرده مرتبه چهارم با پیشروی

همان‌طور که در شکل ۴ مشاهده می‌شود در فواصل شبکه‌ای بزرگ روش عددی مک کورمک فشرده مرتبه چهارم با پیشروی زمانی رُنگ-کوتا دارای دقت و توان تفکیک بالاتری نسبت به دو روش مک کورمک مرتبه دوم و مک کورمک فشرده مرتبه چهارم با پیشروی زمانی مرتبه دوم است. در ادامه به بررسی دقت نتایج حل عددی می‌پردازیم.

#### ۲-۴ بررسی دقت

در این بخش به بررسی دقت روش مک کورمک فشرده مرتبه چهارم با پیشروی زمانی رُنگ-کوتا چهار مرحله‌ای در مقایسه با روش مک کورمک مرتبه دوم و مک-کورمک فشرده مرتبه چهارم با پیشروی زمانی مرتبه دوم می‌پردازیم. برای این که بتوان درک بهتری از میزان تفاوت دقت بین روش‌های مورد بررسی به‌دست آورد و هم‌چنین از نحوه همگرایی روش‌های مختلف اطلاع پیدا کرد، از نُرم  $L_2$  در دو بُعد برای محاسبه میزان خطای هریک از روش‌ها استفاده می‌شود. این نُرم به‌صورت زیر تعریف می‌شود (استراکا و همکاران، ۱۹۹۳):

$$L_2(\theta') = \sqrt{\frac{1}{NXNZ} \sum_{i=1}^{NX} \sum_{k=1}^{NZ} [\theta'(x_i, y_k) - \theta'_{ref}(x_{ii} - y_{kk})]^2} \quad (21)$$

جدول ۱. مقایسه مقادیر بیشینه و کمینه میدان پریشیدگی دمای بالقوه حاصل از روش‌های مک کورمک مرتبه دوم، فشرده مرتبه چهارم با پیشروی زمانی مرتبه دوم و پیشروی زمانی رُنگ-کوتا چهار مرحله‌ای و هم‌چنین استراکا و همکاران (۱۹۹۳) با  $\Delta x = \Delta z = 25m$  و در زمان  $t = 900s$  برای آزمون موردی حباب سرد.

$\theta_{min}$	$\theta_{max}$	روش
-۹/۶۸	۰/۰	مک کورمک مرتبه دوم
-۹/۵۹	۰/۰	مک کورمک فشرده مرتبه چهارم با پیشروی زمانی مرتبه دوم
-۹/۵۸	۰/۰	مک کورمک فشرده مرتبه چهارم با پیشروی زمانی رُنگ-کوتا چهار مرحله‌ای
-۹/۷۷	۰/۰	استراکا و همکاران (۱۹۹۳)

به‌علاوه آزمایش‌های عددی نشان داد، کاهش عبارت اتلافی سبب بالا رفتن تفکیک یاخته‌های دایره‌ای شده و در زمان انتهایی تعداد یاخته‌های دایره‌ای بیشتری قابل مشاهده است. این نتایج با کار ارائه شده توسط احمد و لیندرمن (۲۰۰۷) مطابقت دارد.

##### ۵ حل عددی آزمون موردی حباب گرم در جوّ خنثی با شرایط مرز نابازتاب

از جمله کارهای عددی پراستناد برای درک توانمندی روش‌های عددی مورد استفاده در حل معادلات تراکم-پذیر ناآب‌ایستای جوّ شبیه‌سازی حباب گرم می‌باشد. مطالعه پدیده حباب گرم به دو روش آزمایشگاهی و عددی سالیان دراز است که نظر دانشمندان و محققین را به خود جلب کرده است. از آن جمله می‌توان به کارهای انجام شده توسط لیل (۱۹۹۲)، کارپنتر و همکاران (۱۹۹۰)، مندز و کارول (۱۹۹۴)، احمد و لیندرمن (۲۰۰۷)، مولر و همکاران (۲۰۱۳) و بسیاری از محققین اشاره کرد. در این بخش به ارائه نتایج مربوط به آزمون موردی حباب گرم در جوّ خنثی می‌پردازیم.

منظور از شرایط جوّ خنثی این است که آهنگ کاهش دما برای محیط برابر با آهنگ کاهش دمای بی دررو بوده به طوری که بسامد شناوری برابر با صفر باشد.

حباب گرم یک ترمال از نوع همرفت شناوری از چشمه آبی بوده و به صورت توده شناوری قائم ناگهان آزاد می‌شود. این توده شناوری حرکتی به صورت قائم و دارای شکل ستونی دارد. در این پژوهش نیز همانند کار مندز-نونز و کارول (۱۹۹۴) حوزه انتخابی برای حل عددی تحول حباب گرم شبکه‌ای مستطیل شکل با ابعاد  $40000$  متر طول و  $15000$  متر ارتفاع می‌باشد. مرز پایین حوزه محاسباتی همانند جوّ واقعی که زمین می‌باشد، سخت در نظر گرفته می‌شود.

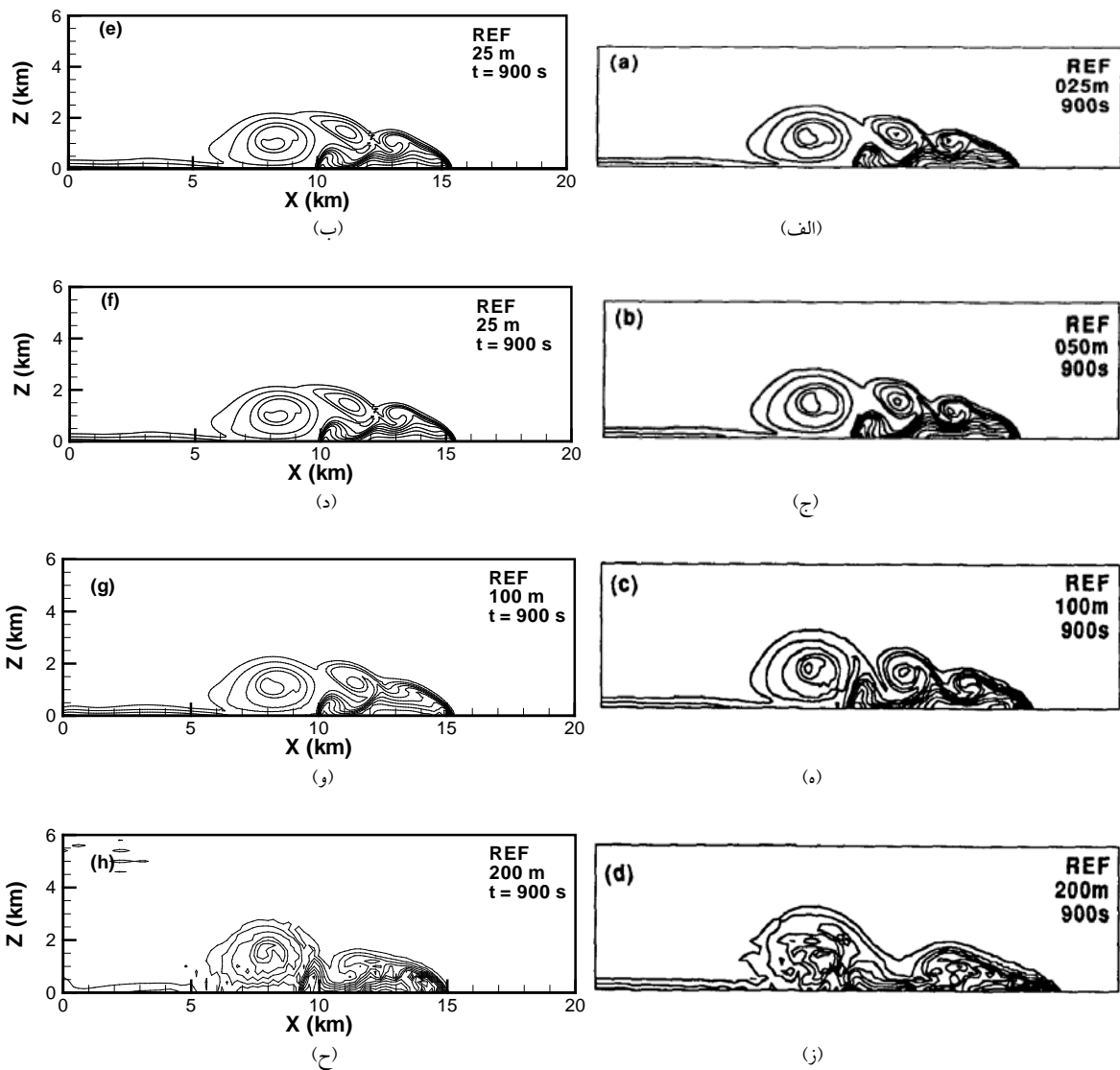
زمانی زنگک- کوتای چهارمرحله‌ای از خطای کمتری برخوردار است.

در شکل ۵-ب نُرم مکانی حاصل از سه روش مک-کورمک مشاهده می‌شود. نتیجه حاکی از همگرایی در روش‌های عددی مختلف است. البته می‌توان دید که روش‌های عددی مک کورمک فشرده مرتبه چهارم نسبت به روش مرتبه دوم از خطای کمتری برخوردارند.

در بخش بعدی مشابه با کار انجام شده توسط احمد و لیندرمن (۲۰۰۷) موقعیت لبه جلویی جبهه میدان پریشیدگی دمای بالقوه در زمان  $t = 900s$  با استفاده از روش مک کورمک فشرده مرتبه چهارم با پیشروی زمانی زنگک- کوتای چهارمرحله‌ای مشخص شده است. همان طور که در شکل ۶ مشاهده می‌شود موقعیت جبهه در فاصله  $15421$  متری قرار دارد. در جدول ۲ موقعیت لبه جلویی جبهه (location Front) حاصل از میدان پریشیدگی دمای بالقوه در زمان  $t = 900s$  با استفاده از روش‌های مک کورمک مرتبه دوم، مک کورمک فشرده مرتبه چهارم با پیشروی زمانی مرتبه دوم و مک کورمک فشرده مرتبه چهارم با پیشروی زمانی زنگک- کوتای چهارمرحله‌ای آمده است.

هم‌چنین بررسی‌ها در این پژوهش نشان داد کمترین مقدار ضریب  $\nu$  برای روش عددی مک کورمک مرتبه دوم  $30 m^2 s^{-1}$  بوده و برای روش‌های الف، ج، ه، ز) در زمان  $t = 900s$  پرندهای هم‌دما در بازه  $[-16.5^\circ C, -0.5^\circ C]$  قرار دارند و اختلاف بین دو پرنده هم‌دما متوالی  $1^\circ C$  و  $\nu = 75 m^2 s^{-1}$  است.

در روش‌های مک کورمک فشرده مرتبه چهارم با پیشروی زمانی مرتبه دوم و پیشروی زمانی زنگک- کوتای چهارمرحله‌ای  $\nu$  برابر با  $8 m^2 s^{-1}$  است.



شکل ۳. مقایسه پریشیدگی دمای بالقوه حاصل از روش مک کورمک فشرده مرتبه چهارم با پیشروی زمانی رُنگ-کوتای چهارمرحله‌ای (سمت چپ شکل‌های ب، د، و، ح) و استراکا و همکاران (۱۹۹۳) (سمت راست شکل‌های الف، ج، ه، ز) در زمان  $t = 900s$ . پرندهای هم‌دما در بازه  $[-16.5^\circ C, -0.5^\circ C]$  قرار دارند و اختلاف بین دو پرنده هم‌دما متوالی  $1^\circ C$  و  $v = 75 m^2 s^{-1}$ .

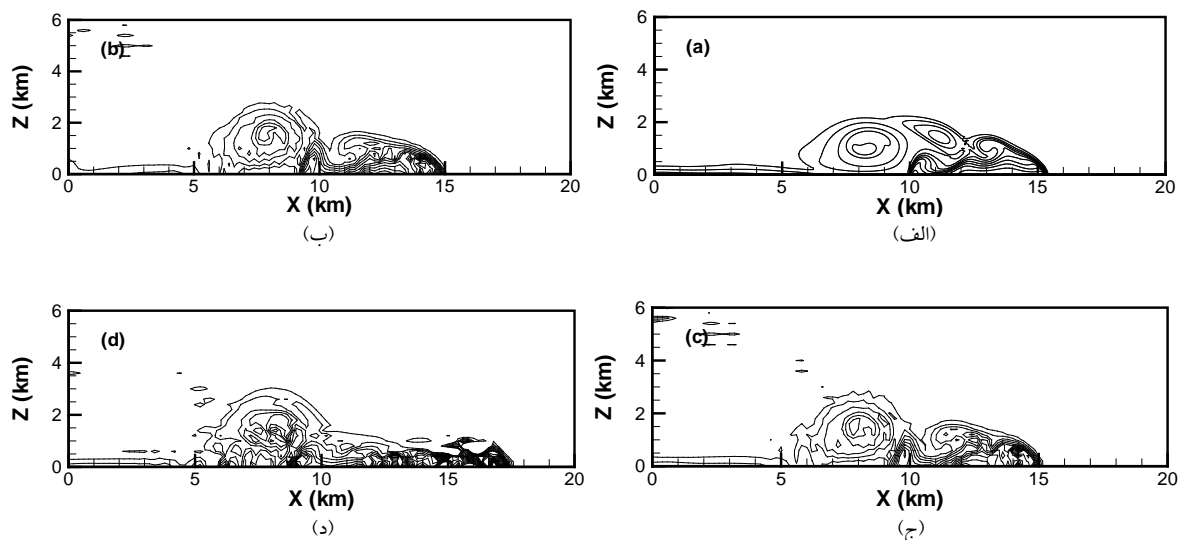
جدول ۲. مقایسه مقادیر موقعیت لبه جلویی جبهه حاصل از روش‌های مک کورمک مرتبه دوم و فشرده مرتبه چهارم با پیشروی زمانی مرتبه دوم و پیشروی زمانی

رُنگ-کوتای چهارمرحله‌ای برای حساب سرد در زمان  $t = 900s$  برای تفکیک  $\Delta x = \Delta z = 25 m$  و  $v = 75 m^2 s^{-1}$ .

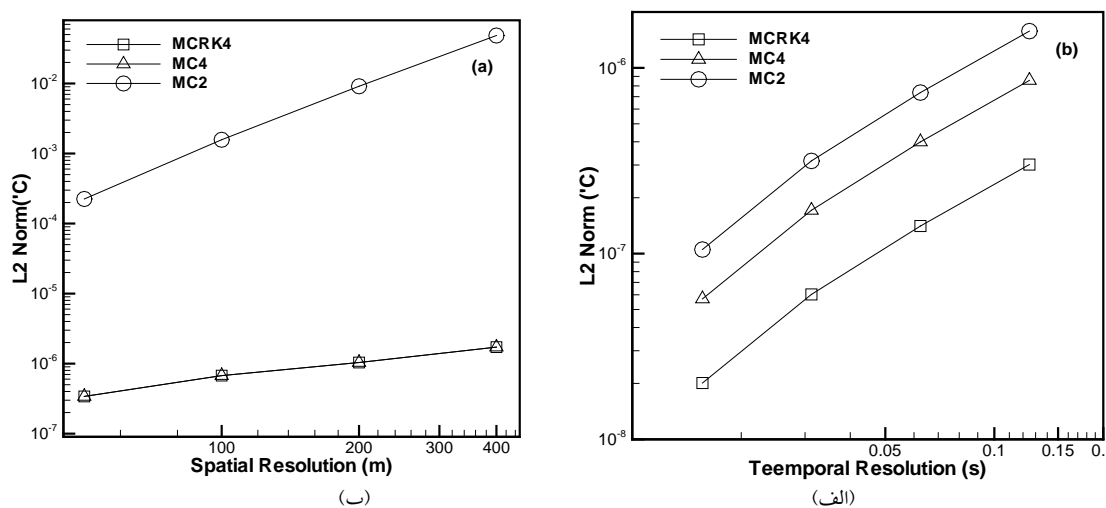
موقعیت لبه جلویی جبهه (متر)	روش
۱۵۴۸۷	مک کورمک مرتبه دوم
۱۵۴۵۱	مک کورمک فشرده مرتبه چهارم با پیشروی زمانی مرتبه دوم
۱۵۴۲۱	مک کورمک فشرده مرتبه چهارم با پیشروی زمانی رُنگ-کوتای چهارمرحله‌ای

بر شرایط داخل آن بگذارند، ترک کنند. این شرط با استفاده از تجارب عددی مندر-نونز و کرول (۱۹۹۴) برای مرز نابازتاب حاصل شد.

مرزهای کناری و بالایی، باز یا نابازتاب در نظر گرفته می-شود. مرز باز به این معنی است که امواج به وجود آمده در حوزه، مانند موج صوتی بتوانند حوزه را بدون اینکه اثری

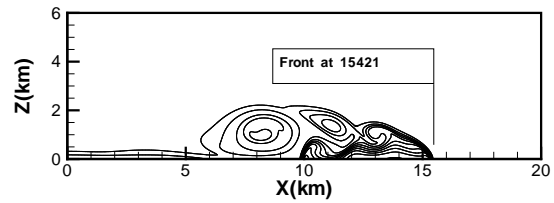


**شکل ۴.** مقایسه میدان پخشیدگی دمای بالقوه با حل مرجع (الف)، میدان دمای بالقوه پخشیده حاصل از روش‌های مک‌کورمک فشرده مرتبه چهارم با پیشروی زمانی رنگ-کوتای چهارمرحله‌ای (ب)، مک‌کورمک فشرده مرتبه چهارم با پیشروی زمانی مرتبه دوم (ج)، و مک‌کورمک مرتبه دوم (د) با  $\Delta x = \Delta z = 200m$  متناظر با تعداد نقاط شبکه (۱۲۹×۳۳) در زمان  $t = 900s$  و پهندهای هم‌دما در بازه  $[-16.5^{\circ}C, -0.5^{\circ}C]$  قرار دارند. اختلاف بین دو پهندهای متوالی ۱ درجه سلسیوس و  $\nu = 75m^2s^{-1}$  است.



**شکل ۵.** نرم  $L_2$  برای میدان پخشیدگی دمای بالقوه با استفاده از روش‌های عددی مورد استفاده در کار حاضر (الف) نرم زمانی و (ب) نرم مکانی.

نشان داده شد. گام زمانی انتخابی برای این تفکیک مقدار  $\Delta t = 0.01s$  است. همچنین این آزمون بدون در نظر گرفتن ضریب میرایی حل شد.



شکل ۶. موقعیت لبه جلویی جبهه برای میدان پریشیدگی دمای بالقوه حاصل از روش مک کورمک فشرده مرتبه چهارم با پیشروی زمانی رنگ-کوتای چهارمرحله‌ای برای حباب سرد در زمان  $t = 900s$  و برای تفکیک  $\Delta x = \Delta z = 25m$  متناظر با تعداد نقاط شبکه  $(1025 \times 257)$ .

### ۱-۵ نتایج حل عددی آزمون حباب گرم در جو خنثی با شرایط مرز نابازتاب

برای حل عددی حباب گرم در جو خنثی با شرایط مرز نابازتاب از تفکیک افقی ۵۰ متر که معادل تعداد نقاط شبکه‌ای  $(801 \times 301)$  در دو راستای افقی و قائم می‌باشد، استفاده شده است. با توجه به شرط پایداری عددی گام-زمانی متناظر با این تفکیک  $0.1$  ثانیه است. با توجه به رابطه (۲۲) بیشینه پریشیدگی دمای بالقوه در مرکز حباب قرار دارد، بنابراین مرکز حباب با بیشترین سرعت به سمت بالا حرکت می‌کند. بنابراین به علت آن که سرعت در مرکز حباب نسبت به بقیه نقاط آن بیشتر است، شیو دمای بالقوه با گذشت زمان افزایش می‌یابد. در شکل ۷ میدان اولیه پریشیدگی دمای بالقوه نشان داده شده است. در این شکل پرندهای هم دما در بازه  $[6.5^\circ C, 0.5^\circ C]$  قرار دارند و اختلاف بین دو پرنده هم‌دمای متوالی  $0.5^\circ C$  می‌باشد. درونی‌ترین پرنده دارای پریشیدگی دمای بالقوه  $6.5^\circ C$  می‌باشد.

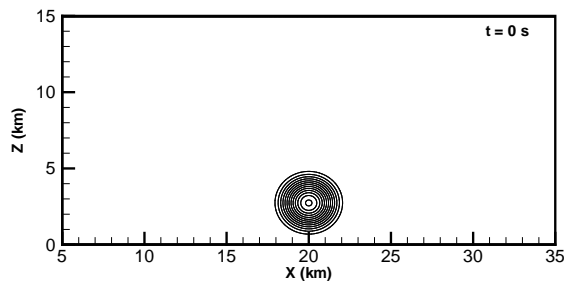
برای شبیه‌سازی حباب گرم از پریشیدگی میدان دمای اولیه استفاده می‌شود. در این آزمون، شرایط اولیه میدان پریشیدگی دما به صورت زیر تعریف می‌شود:

$$\Delta T = 6.6 \cos^2\left(\frac{\pi\beta}{2}\right) \quad \beta \leq 1.0, \quad (22)$$

که در رابطه (۲۲) پارامتر  $\beta$  از رابطه (۱۷) به دست می‌آید با این تفاوت که در این آزمون موردی چهار کمیت ذکر شده در رابطه (۱۷) دارای مقادیر زیر می‌باشند:

$$\begin{aligned} x_c &= 20.0km, & z_c &= 2.75km, \\ x_r &= 2.5km, & z_r &= 2.5km, \end{aligned} \quad (23)$$

که در این پژوهش تفکیک‌های افقی متفاوتی در دو راستای افقی و قائم انجام شد که در اینجا فقط فاصله شبکه‌ای  $\Delta x = \Delta z = 25m$  متناظر با تفکیک  $(801 \times 301)$

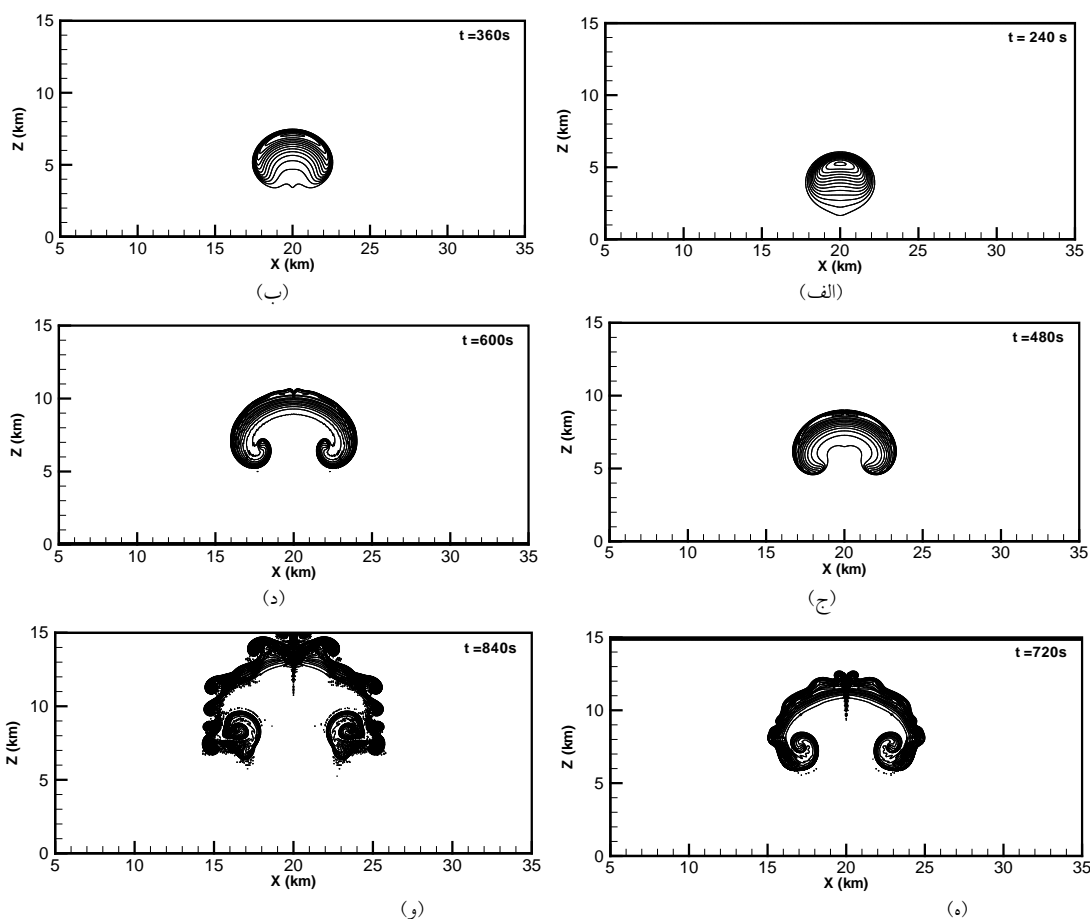


شکل ۷. میدان اولیه پریشیدگی دمای بالقوه برای حباب گرم با فاصله شبکه‌ای  $\Delta x = \Delta z = 50m$  متناظر با تفکیک  $(801 \times 301)$  می‌باشد. واحدها روی هر دو محور مختصات برحسب کیلومتر هستند. پرندهای هم دما در بازه  $[6.5^\circ C, 0.5^\circ C]$  قرار دارند و اختلاف بین دو پرنده هم‌دمای متوالی  $0.5^\circ C$  می‌باشد. درونی‌ترین پرنده دارای پریشیدگی دمای بالقوه  $6.5^\circ C$  می‌باشد.

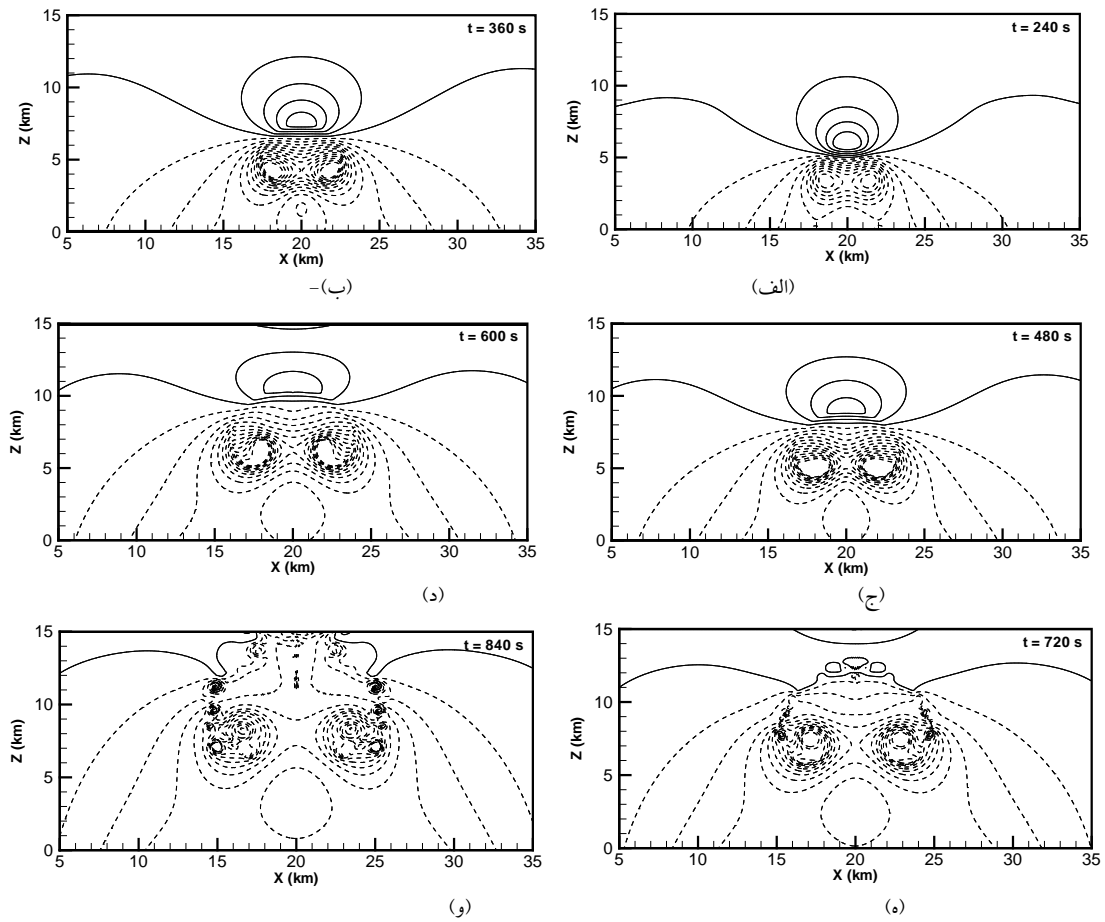
محور بر حسب کیلومتر بوده و خط‌چین‌ها نشان‌دهنده پریشیدگی منفی می‌باشد.

در ادامه برای این که مقایسه کمی بین نتایج عددی حاصل از روش‌های مختلف مک‌کورمک برای تحول زمانی پریشیدگی میدان سرعت قائم انجام بگیرد، مشابه با کاری که کارپنتر و همکاران (۱۹۹۰) و احمد و لیندرمن (۲۰۰۷) انجام دادند، بیشینه مقدار سرعت قائم حاصل از روش‌های مک‌کورمک مرتبه دوم و مک‌کورمک فشرده مرتبه چهارم با پیشروی زمانی مرتبه دوم و مک‌کورمک فشرده مرتبه چهارم با پیشروی زمانی رُنگ-کوتای چهارمرحله‌ای در شکل ۱۱ آمده است.

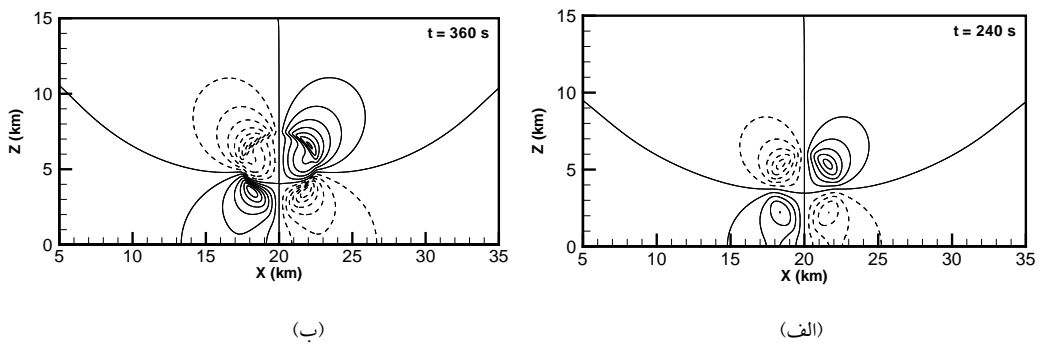
در شکل ۸ تحول زمانی میدان پریشیدگی دمای بالقوه از زمان ۲۴۰s تا زمان ۸۴۰s حاصل از حل عددی و به کمک روش مک‌کورمک فشرده مرتبه چهارم با پیشروی زمانی رُنگ-کوتای چهارمرحله‌ای نشان داده شده است. همانطور که مشاهده می‌شود با گذشت زمان شیو دمای بالقوه افزایش یافته است. در این شرایط روشی که دارای توان تفکیک بیشتر و دقت بالاتری باشد می‌تواند برتری خود را نسبت به دیگر روش‌ها نشان دهد. در شکل ۹ تحول زمانی میدان فشار آورده شده است. همچنین شکل ۱۰ تحول زمانی میدان سرعت افقی نشان داده شده است. در این شکل‌ها واحدها بر روی هر دو

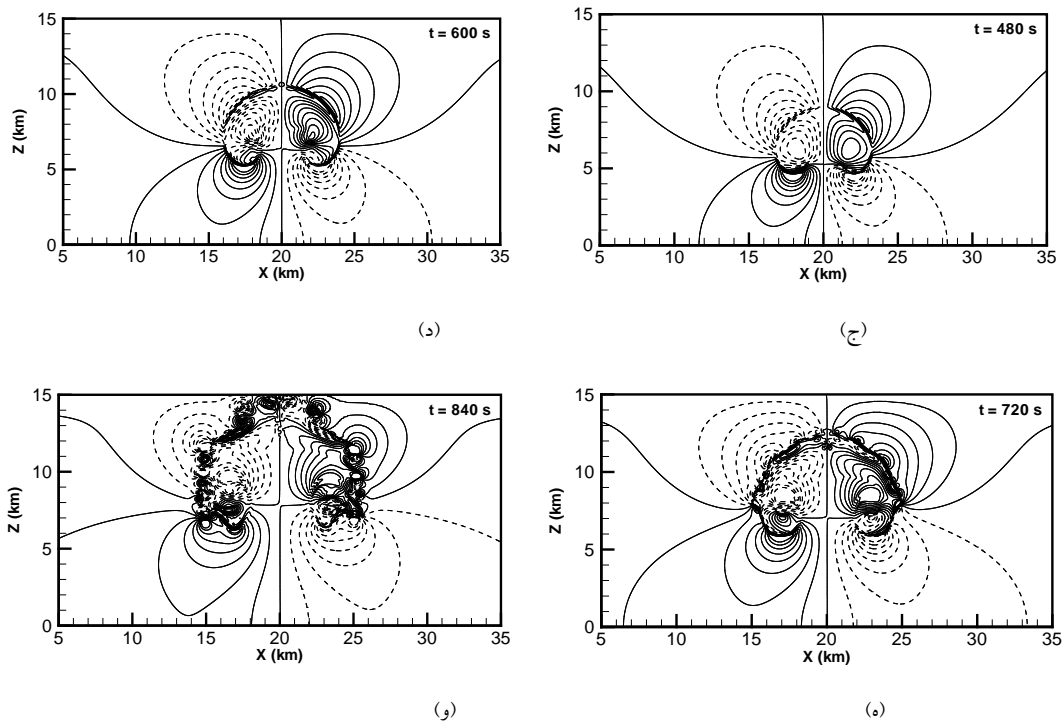


شکل ۸. تحول زمانی پریشیدگی دمای بالقوه برای حباب گرم در جو خنثی و شرایط مرز باز با استفاده از روش مک‌کورمک فشرده مرتبه چهارم با پیشروی زمانی رُنگ-کوتای چهارمرحله‌ای. فاصله شبکه‌ای  $\Delta x = \Delta z = 50 \text{ m}$  متناظر با تفکیک  $(1 \times 3 \times 1)$  می‌باشد. واحدها روی هر دو محور مختصات بر حسب کیلومتر هستند. پریندهای هم‌دما در بازه  $[0.5^\circ \text{C}, 6.5^\circ \text{C}]$  قرار دارند و اختلاف بین دو پریند هم‌دما متوالی  $0.5^\circ \text{C}$  و  $v = 75 \text{ m}^2 \text{ s}^{-1}$  می‌باشد. درونی‌ترین پریند دارای پریشیدگی دمای بالقوه  $6.5^\circ \text{C}$  می‌باشد.

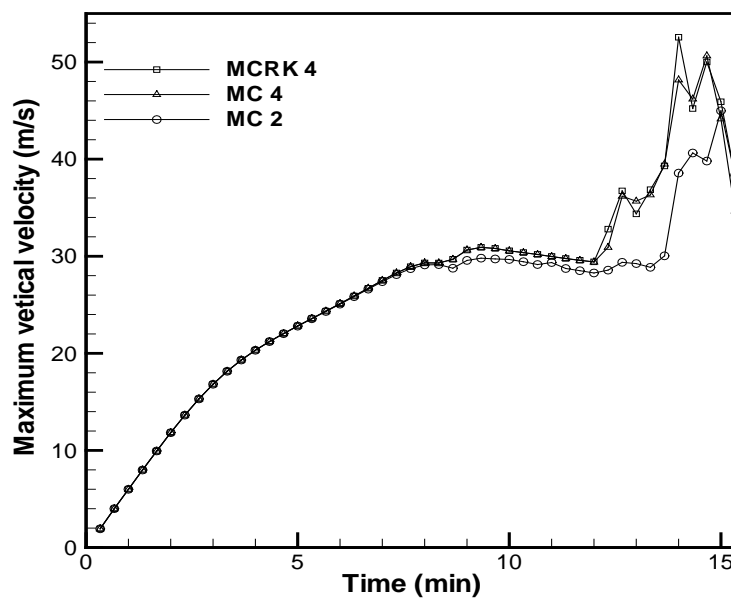


**شکل ۹.** تحول زمانی میدان پریشیدگی فشار از زمان  $t = ۲۴۰\text{s}$  (شکل الف) تا زمان  $t = ۸۴۰\text{s}$  (شکل و) با بازه زمانی  $t = ۱۲۰\text{s}$  حاصل از حل عددی و به کمک روش مک کورمک فشرده مرتبه چهارم با پیشروی زمانی رنگ-کوتای چهارمرحله‌ای نشان داده شده است. فاصله شبکه‌ای  $\Delta x = \Delta z = 50\text{m}$  متناظر با تفکیک  $(۸۰۱ \times ۳۰۱)$  می‌باشد. هر دو محور مختصات برحسب کیلومتر و خط‌چین‌ها نشان‌دهنده پریشیدگی منفی هستند. پربندهای هم‌مقدار فشار در بازه  $[-260\text{Pa}, 80\text{Pa}]$  قرار دارند و اختلاف بین دو پربند هم‌فشار متوالی  $20\text{Pa}$  و  $v = 0.0\text{m}^2\text{s}^{-1}$  است.



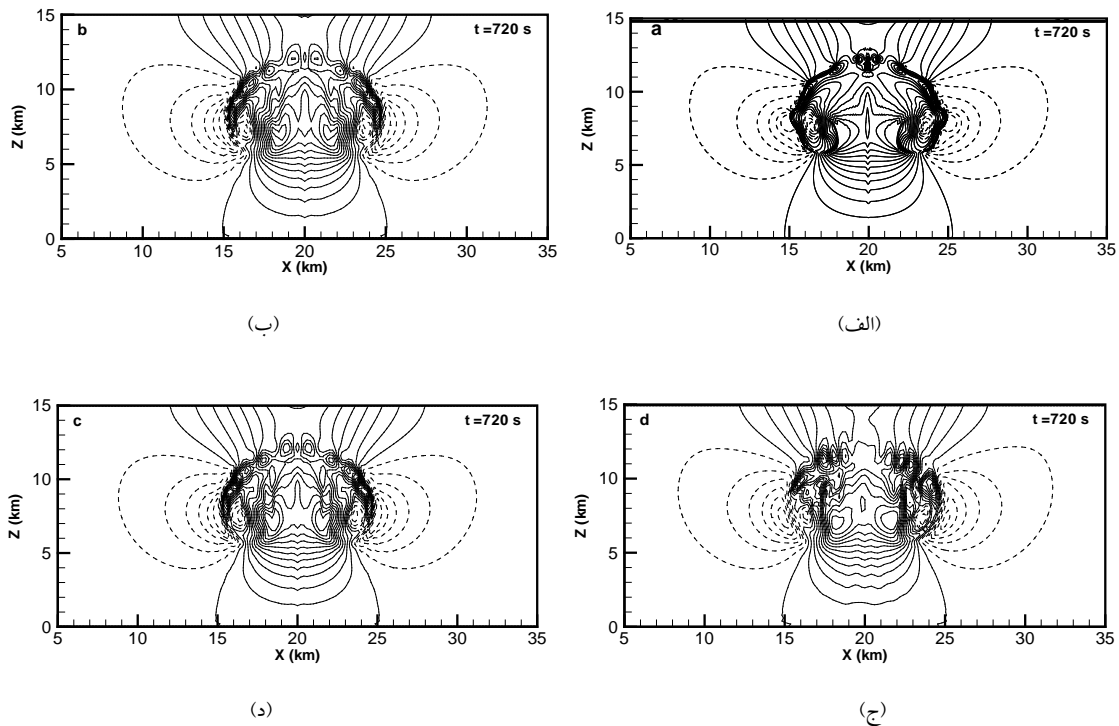


شکل ۱۰. تحول زمانی میدان پریشیدگی سرعت افقی از زمان  $t = ۲۴۰\text{s}$  (شکل الف) تا زمان  $t = ۸۴۰\text{s}$  (شکل و) با بازه زمانی  $t = ۱۲۰\text{s}$  حاصل از حل عددی و به کمک روش مک‌کورمک فشرده مرتبه چهارم با پیشروی زمانی زنگ-کوتای چهارمرحله‌ای نشان داده شده است. فاصله شبکه‌ای  $\Delta x = \Delta z = 50\text{m}$  متناظر با تفکیک  $(۸۰۱ \times ۳۰۱)$  می‌باشد. هر دو محور مختصات برحسب کیلومتر و خط‌چین‌ها نشان دهنده پریشیدگی منفی هستند. پربندهای هم‌سرعت در بازه  $[-16\text{ms}^{-1}, 16\text{ms}^{-1}]$  قرار دارند و اختلاف بین دو پربند متوالی  $2\text{ms}^{-1}$  و  $v = 0.0\text{m}^2\text{s}^{-1}$  است.



شکل ۱۱. بیشینه مقدار سرعت قائم حاصل از روش‌های مک‌کورمک مرتبه دوم و مک‌کورمک فشرده مرتبه چهارم با پیشروی زمانی مرتبه دوم و پیشروی زمانی زنگ-کوتای چهارمرحله‌ای.





شکل ۱۱. مقایسه میدان پریشیدگی سرعت قائم (الف) حل مرجع با فاصله شبکه‌ای  $\Delta x = \Delta z = 50 \text{ m}$ ، (ب) روش مک کورمک فشرده مرتبه چهارم با پیشروی زمانی رُنگ-کوتای چهارمرحله‌ای، (ج) روش مک کورمک فشرده مرتبه چهارم با پیشروی زمانی مرتبه دوم و (د) روش مک کورمک مرتبه دوم با فاصله شبکه‌ای مورد استفاده در شکل‌های (b)، (c) و (d)  $\Delta x = \Delta z = 200 \text{ m}$  متناظر با تعداد نقاط شبکه  $(201 \times 76)$  می‌باشد. هر دو محور مختصات برحسب کیلومتر و خط‌چین‌ها نشان‌دهنده پریشیدگی منفی هستند. پربندهای هم‌سرعت در بازه  $[-12 \text{ ms}^{-1}, 24 \text{ ms}^{-1}]$  قرار دارند و اختلاف بین دو پربند متوالی  $2 \text{ ms}^{-1}$  و  $0.0 \text{ m}^2 \text{ s}^{-1}$  است.

حل عددی شکل پایستار معادلات تراکم‌پذیر دو بُعدی و ناآب‌ایستایی جو با استفاده از روش فشرده مک کورمک مرتبه چهارم با پیشروی زمانی رُنگ-کوتای انجام شد. با شبیه‌سازی حباب سرد در جو خنثی با مرز سخت و شبیه‌سازی حباب گرم در جو خنثی با مرز نابازتاب، مشاهده شد در میدان پریشیدگی دمای بالقوه با گذشت زمان شیو-ها افزایش می‌یابد و عملکرد روش‌ها در چنین حالتی متمایز می‌شود. هم‌چنین مقایسه نتایج عددی عرضه شده برای شبیه‌سازی حباب گرم در جو خنثی با استفاده از روش مک کورمک فشرده مرتبه چهارم با پیشروی زمانی رُنگ-کوتای چهارمرحله‌ای با کار استراکا و همکاران (۱۹۹۳)، مندز و کرول (۱۹۹۴) و هم‌چنین احمد و

همان‌طور که در شکل ۱۱ مشاهده می‌شود محدوده تغییرات بیشینه و کمینه مقدار سرعت قائم در حل عددی مک کورمک فشرده مرتبه چهارم با پیشروی زمانی رُنگ-کوتای چهارمرحله‌ای برای حل حباب گرم با شرایط مرز باز نسبت به روش مک کورمک مرتبه دوم با گذشت زمان بهتر نشان داده شده است. نتایج حاصل از نمودار شکل ۱۱ را می‌توان در شکل ۱۲ با مطابقت موردی این سه روش در زمان  $720 \text{ s}$  برای سرعت قائم مشاهده کرد. همان‌طور که در شکل ۱۲ مشاهده می‌شود در فواصل شبکه‌ای بزرگ نیز روش عددی مک کورمک فشرده مرتبه چهارم دقت و توان تفکیک بالاتری دارند.

۶ نتیجه‌گیری

- Carroll, J. J., Mendez-Nunez, L. R., and Tanrikulu, S., 1987, Accurate pressure gradient calculation in hydrostatic atmospheric model: Bound-Layer Meteo., **41**, 149–169.
- Durran, D. R., 2010, Numerical Methods for Fluid Dynamics with Applications to Geophysics: Second Edition, Springer, New York.
- Esfahanian, V., Ghader, S., and Mohebalhojeh, A. R., 2005, On the use of super compact scheme for spatial differencing in numerical models of the atmosphere: Q. J. Roy. Meteorol. Soc., **131**, 2109–2130.
- Fox, L., and Goodwin, E. T., 1949, Some new method for the numerical integration of ordinary differential equation: Proc. Cambridge Phi. Soc. Math. Phys., **45**, 373-388.
- Ghader, S., Mohebalhojeh, A. R., and Esfahanian, V., 2009, On the spectral convergence of the super compact finite-difference schemes for the f-plane shallow-water equations: Mon. Wea. Rev., **137**, 2393–2406.
- Ghader, S., Nordström, J., 2015, High-order compact finite difference schemes for the vorticity–divergence representation of the spherical shallow water equations, Int. J. Numer. Meth. Fluids, **78**, 709-738.
- Golshahy, H., Ghader, S., and Ahmadi-Givi, F., 2011, Accuracy assessment of the super compact and combined compact schemes for spatial differencing of a two-layer oceanic model: Presentation of linear inertia-gravity and Rossby waves: Ocean Modeling, **37**, 49–63.
- Giraldo, F. X., and Restelli, M., 2007, A study of spectral element and discontinuous Galerkin methods for the Navier–Stokes equations in non hydrostatic mesoscale atmospheric modeling: Equation sets and test cases: J. Comput. Phys., **227**, 3849–3877.
- Gottlieb, D., and Turkel, E., 1978, Boundary conditions for multisteps finite-difference methods for time dependent equations: J. Comput. Phy., **26**, 181–196.
- لیندرمن (۲۰۰۷) گویای توانمند بودن این روش در حل عددی معادلات دوبعدی و تراکم‌پذیر است. با توجه به اینکه روش پیش‌گفته دارای دقت بیشتری در گسسته-سازی زمان و مکان و هم‌چنین پخش عددی کمتر است، می‌تواند در مناطق جبهه‌ای همراه با شیوهای شدید، این شرایط را حفظ و با گذشت زمان دچار ناپایداری محاسباتی کمتری شود. با توجه به عملکرد مناسب این روش، می‌توان در بررسی‌های عددی برای جوّ با شرایط واقعی تر مثل شرایط جوّ غیرخنثی، بادرو و همانند آن نیز انجام داد.
- ### منابع
- بیدختی، ع.ع.، بیوک، ن.، و ثقفی، م.ع.، ۱۳۸۳، بررسی ساختار چند جریان جستنک توفان‌های همرفتی تهران با استفاده از داده‌های سودار: مجله فیزیک زمین و فضا، **۳۰**(۲)، ۹۳–۱۱۳.
- قادر، س.، بیدختی، ع.ع.، و فلاحت، س.، ۱۳۸۹، حل عددی مسئله تنظیم راسبی غیرخطی ناپایای دوبعدی با استفاده از روش فشرده مک کورمک مرتبه چهارم: مجله فیزیک زمین و فضا، **۳۶**(۳)، ۱۵۱–۱۷۳.
- قادر، س.، بیدختی، ع.ع.، و فلاحت، س.، ۱۳۹۰، حل عددی شکل پایستار معادلات تراکم‌پذیر دوبعدی و غیرهیدروستاتیک جوّ با استفاده از روش مک-کورمک مرتبه دوم: مجله فیزیک زمین و فضا، **۳۷**(۲)، ۱۹۱–۱۷۱.
- Ahmad N., and Lindeman J., 2007, Euler solution using flux-based wave decomposition: Int. J. Numer. Meth. Fluids, **54**, 47–72.
- Carpenter, R. L., Droegemeier, K. K., Woodward, P. R., and Hane, C. E., 1990, Application of piecewise parabolic method (PPM) to meteorological modeling: Mon. Wea. Re., **118**, 586–612.

- for solving the shallow water equations in conservative-law form: *Mon. Wea. Rev.*, **107**, 1107–1127.
- Numerov, B. V., 1924, A method of extrapolation of perturbations: *Mon. Notic. Roy. Astron. Soc.*, **84**, 592–601.
- Straka, J. M., Wilhelmson, R. B., Wicker, L. J., Anderson, J. R., and Droegemeier, K. K., 1993, Numerical solutions of a nonlinear density current: A benchmark solution and comparisons: *Int. J. Numer. Meth. Fluids*, **17**, 1–22.
- Tannehil, J. C., Anderson, D. A., and Pletcher R. H., 1997, *Computational Fluid Mechanics and Heat Transfer*: Taylor & Francis, Second edition.
- Yelasha, L., Müller, A., Lukáčová-Medvid'ová, M., Giraldo, F. X., and Wirth, V., 2014, Adaptive discontinuous evolution Galerkin method for dry atmospheric flow: *J. Comput. Phys.*, **268**, 106–133.
- Zhang J., Sun H., and Zhao J. J., 2002, High-order compact scheme with multigrid local mesh refinement procedure for convection diffusion problems: *Comput. Methods Appl. Mesh. Energy*, **191**, 4661–4674.
- Hixon, R., and Turkel, E., 2000, Compact implicit MacCormack-type scheme with high accuracy: *J. Comput. Phys.*, **158**, 51–70.
- Kreiss, H. O., and Olinger, J., 1972, Comparison of accurate methods for the integration of hyperbolic equations: *Tellus*, **24**, 199–215.
- Lilly, D. K., 1962, On the numerical simulation of buoyant convection: *Tellus*, **14**, 148–173.
- Lele S. K., 1992, Compact finite difference schemes with spectral-like resolution: *J. Comput. Phys.*, **103**, 16–42.
- Mendez-Nunez, L. R., and Carroll, J. J., 1994, Application of the MacCormack scheme to atmospheric nonhydrostatic models: *Mon. Wea. Rev.*, **122**, 984–1000.
- Mohebalhojeh, A. R., and Dritschel, D. G., 2007, Assessing the numerical accuracy of complex spherical shallow water flows. *Mon. Wea. Rev.*, **135**, 3876–3894.
- Müller, A., Behrens, J., Giraldo, F. X., Wirth, V., 2013, Comparison between adaptive and uniform discontinuous Galerkin simulations in dry 2D bubble experiments: *J. Comput. Phys.*, **235**, 371–393.
- Navon, I. M., and Riphagen H. A., 1979, An implicit compact fourth-order algorithm